

©1995 г.

## ЭВОЛЮЦИЯ ПРИМЕСНО-ДЕФЕКТНОЙ СИСТЕМЫ НЕЛЕГИРОВАННОГО CdTe *n*- И *p*-ТИПА ПРИ КОМНАТНОЙ ТЕМПЕРАТУРЕ

*В.Н.Бабенцов, А.И.Власенко, Н.И.Тарбаев*

Институт физики полупроводников Национальной академии наук Украины,  
252650, Киев, Украина

(Получена 28 июля 1994 г. Принята к печати 11 ноября 1994 г.)

Исследована эволюция примесно-дефектной системы специально не легированного CdTe *n*- и *p*-типа, содержащего доминирующие остаточные примеси I группы (Li, Cu) в донорном или акцепторном состоянии при его хранении на воздухе при комнатной температуре в течение 6 месяцев. Показано, что профили интенсивности низкотемпературной фотолюминесценции, измеренные по толщине образца CdTe после его кратковременного отжига в парах кадмия или в вакууме, существенно изменяются со временем и могут дать информацию о процессах трансформации примесно-дефектной системы. В частности, показано, что в исследованных образцах в *n*-области падение интенсивности линии экситонов, связанных на нейтральных донорах, определяется уходом со временем междузельных атомов Li<sub>i</sub>, Cu<sub>i</sub> на стоки дефектов. В *p*-области падение интенсивности фотолюминесценции также связано с образованием микронеоднородностей, геттерирующих примеси. Кроме того, наблюдалась диффузия акцепторов Li<sub>Cd</sub>, Cu<sub>Cd</sub> и их спонтанный переход в донорные состояния Li<sub>i</sub>, Cu<sub>i</sub>. Сделан вывод о том, что характер эволюции примесно-дефектной системы за продолжительное время хранения образцов при комнатной температуре определяется ее исходным состоянием, полученным в результате термической обработки.

### Введение

Одной из проблем легирования теллурида кадмия с целью получения структур для создания одноканальных и многоканальных детекторов радиационных потоков [1,2] является нестабильность во времени параметров как низкоомных (*n*- и *p*-типов), так и высокоомных областей материала [3,4]. Нестабильность, связанная с преобразованием системы дефектов, проявляется как в уменьшении со временем величины проводимости низкоомных областей *n*- и *p*-типа (эффект самокомпенсации), так и в ее увеличении в высокоомной области. Кроме того, со временем может уменьшаться подвижность носителей заряда.

В каждом случае действует, как правило, несколько механизмов преобразования системы дефектов, влияющих на электрические и рекомбинационные характеристики, но иногда из них можно выделить доминирующий. Например, согласно [4], уменьшение величины проводимости в *p*-CdTe (вплоть до значений удельного сопротивления  $\rho = 10^8 \text{ Ом}\cdot\text{см}$ ) обусловлено протеканием при комнатной температуре реакции  $\text{Li}_{\text{Cd}} \rightarrow V_{\text{Cd}} + \text{Li}_i$ . Несколько моделей компенсации вследствие образования собственных дефектов рассмотрены в работе [3] при легировании *p*-CdTe донорными примесями.

Трудность экспериментального подтверждения модели преобразования дефектов в CdTe во многом обусловлена недостаточно совершенными методами исследования дефектов разных типов, в особенности их неэффективностью при выделении определенного дефекта. В данной работе методом анализа спектров низкотемпературной фотолюминесценции исследовано старение примесно-дефектной системы кристаллов CdTe, содержащих в качестве доминирующей остаточную примесь I группы Cu или Li в акцепторном или донорном состояниях (соответственно расположенную в узлах Cd или междуузлиях).

Информацию о состоянии примеси в кристалле и характере процессов старения мы получали путем регистрации интенсивности излучения линий экситонов, связанных на донорах и акцепторах Cu или Li, и анализа их изменения по толщине образца после его кратковременного отжига в парах Cd или в вакууме. Такой отжиг приводил либо к образованию по краям образца *p*-CdTe областей *n*-типа за счет перехода атомов I группы Cu, Li из узла Cd в междуузлия, либо областей *p*-CdTe — в образце *n*-типа за счет обратного перехода из междуузлия в пустые узлы кадмия [5,6]. Линии экситонов, связанных на других примесях (P, Ag, Ga, In и др.) в рассматриваемой области спектра, были значительно слабее, чем линии Cu, Li, и поэтому не анализировались.

## Методика эксперимента

Исследовались пластины монокристаллического теллурида кадмия *n*- и *p*-типов размером  $4 \times 10 \times 0.8 \text{ мм}^3$ , большая поверхность которых ориентирована в плоскости (111). Плотность дислокаций составляла приблизительно  $(1 \div 5) \cdot 10^5 \text{ см}^{-2}$ , а концентрация остаточных примесей — не более  $10^{16} \text{ см}^{-3}$ . Отжиг образцов производился в откаченных и запаянных кварцевых ампулах, содержащих (или не содержащих) навеску металлического Cd, при  $T = (400 \div 600)^\circ \text{C}$  с последующей быстрой закалкой.

Спектры люминисценции измерялись при 4.2 К с использованием для возбуждения излучения лазера с длиной волны 632.8 нм, сфокусированного в пятно диаметром 30 мкм. Перемещая точку возбуждения по сколу образца, перпендикулярному большой грани, или по клину, полученному химическим стравливанием, мы получали информацию о спектральном составе и интенсивности линий и полос излучения на различном удалении от поверхности. Для контроля изменений использовался аналогичный отожженому исходный образец. Экспериментальная установка и методика описаны в [5].

## Экспериментальные результаты

*Отжиг в парах Cd.* На рис. 1,*a-d* представлены профили распределения по сколу образца интенсивности линий излучения экситонов, связанных на нейтральных акцепторах  $I_1$  ( $\text{Li}_{\text{Cd}}$ ,  $\text{Cu}_{\text{Cd}}$ ; 779.9 нм) и на нейтральных донорах  $I_2$  ( $\text{Li}_i$ ,  $\text{Cu}_i$ ; 778.2 нм), измеренные на образцах  $p\text{-CdTe}$

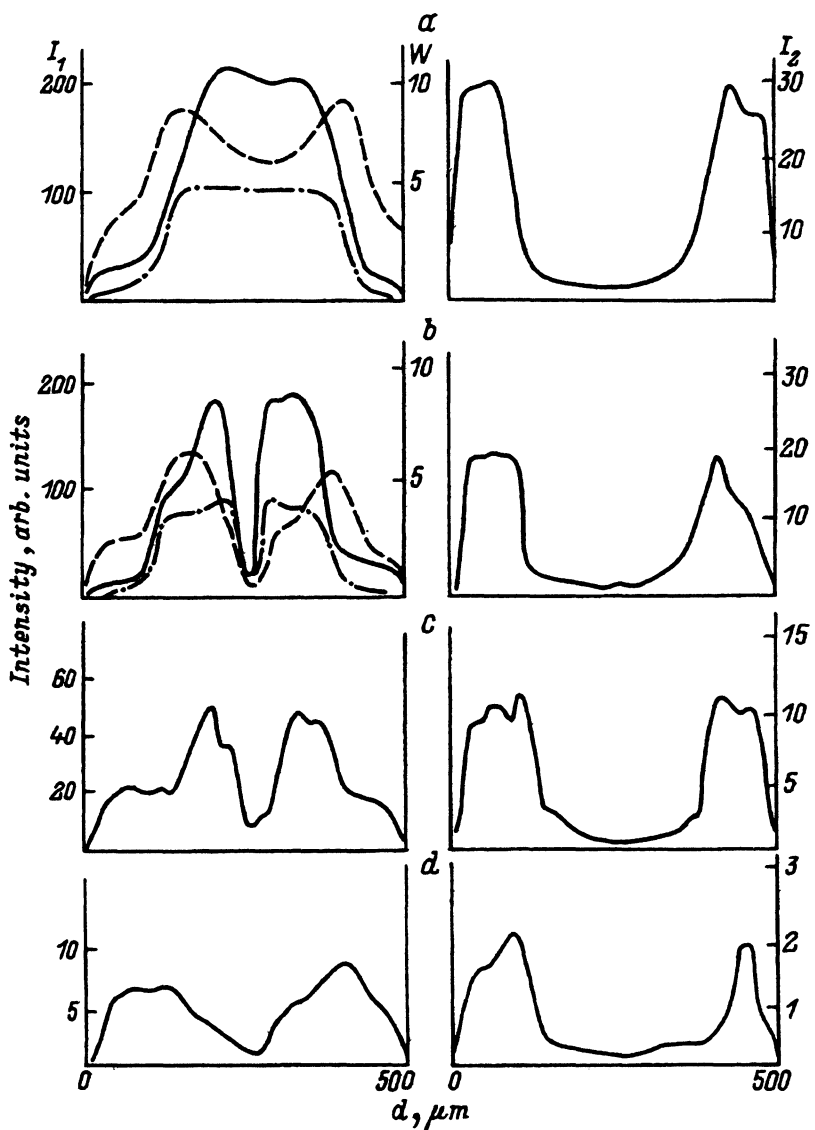


Рис. 1. Распределение по толщине  $d$  в образце  $p\text{-CdTe}$  интенсивности линий излучения экситонов  $I_1$ ,  $I_2$  (сплошные линии) и полос донорно-акцепторного излучения  $W$  с длиной волны  $\lambda = 810$  нм (штриховые линии) и  $\lambda = 804$  нм (штрихпунктирные) после отжига образца в течение 1 ч. Временной интервал между отжигом образца и измерением спектра составлял: *a* — 1 ч, *b* — 10 сут, *c* — 1 месяц, *d* — 6 месяцев. Расположение шкал  $I_1$ ,  $I_2$  и  $W$  для рис. *b*, *c*, *d* такое же, как и для рис. *a*.

через 1 ч, 10 сут, 1 и 6 месяцев после их отжига в атмосфере паров Cd при 600° С в течение 1 ч.

Как показано в работах [6,7], после отжига образца *p*-CdTe в атмосфере насыщенных паров Cd при 600° С он преобразуется в материал *n*-типа, который характеризуется наличием в спектре низкотемпературной фотолюминесценции интенсивной линии экситонов, связанных на нейтральных донорах. Интенсивность линий  $I_2$  по краям кристалла после отжига в парах Cd возрастает примерно в 100 раз в сравнении как с исходной, так и с интенсивностью этой линии в середине образца (рис. 1,*a*). В этой же области (у краев) интенсивность линии экситонов, связанных на нейтральных акцепторах,  $I_1$  падает в 100–200 раз по сравнению с серединой образца. Как показано нами ранее [5], поведение интенсивностей линий  $I_1$  и  $I_2$  соответствует протеканию реакции  $\text{Li}_{\text{Cd}}, \text{Cu}_{\text{Cd}} + \text{Cd}_{\text{vap}} \rightarrow \text{Li}_i, \text{Cu}_i$  с вхождением Cd в узлы собственной подрешетки и сохранением общей концентрации примеси в акцепторном и донорном состояниях ( $\text{Cd}_{\text{vap}}$  — кадмий в паровой фазе). Из рис. 1,*a-d* видно, что со временем хранения образца на воздухе при комнатной температуре интенсивность линии  $I_2$  по краям образца уменьшается примерно в 10 раз без заметного расплывания диффузионных фронтов. Интенсивность линии  $I_1$  в прикраевых областях практически не изменяется со временем.

В средней части образца после отжига сохраняется *p*-тип материала. При этом в спектре низкотемпературной фотолюминесценции наблюдается слабая линия  $I_2$  и сильная линия  $I_1$ , так что отношение  $I_1/I_2 \approx 100$ , как и в исходном образце. Деградация люминесценции со временем в этой области образца начинает проявляться в виде провала интенсивности в середине профиля. Одновременно происходит падение интенсивностей линий  $I_1, I_2$  и полос донорно-акцепторной люминесценции, связанных с разными акцепторами:  $\text{Li}_{\text{Cd}}$  (полоса с  $\lambda = 804 \text{ нм}$ ) [8] и  $\text{P}_{\text{Te}}$  (полоса с  $\lambda = 810 \text{ нм}$ ) [9]. Как видно из рис. 1, ширина провала на профиле  $I_1$  увеличивается со временем.

*Отжиг в вакууме.* На рис. 2 представлены профили распределения интенсивности линии  $I_1$  (кривая 1) и  $I_2$  (кривая 2) для нелегированных кристаллов *n*-типа CdTe после их кратковременного (в течение 0.5 ч) отжига при 400° С в вакуумной запаянной ампуле. Профили, приведенные на рис. 2, измерены со стороны проправленной «на клин» поверхности.

Исходно спектр образца содержал обе линии,  $I_1$  (779.9 нм) и  $I_2$  (778.2 нм), интенсивность которых флюктуировала по величине по всему склону, отражая неоднородность кристалла. После отжига величины интенсивности линий  $I_1$  и  $I_2$  в глубине образца соответствовали исходному состоянию, а вблизи краев претерпели существенные изменения. На профиле интенсивности линии  $I_1$  появился максимум интенсивности, расположенный на расстоянии 2–4 мкм от края (кривая 1). В этой же области интенсивность линии  $I_2$  упала в сравнении с исходной примерно в 100–200 раз (кривая 2). Ранее мы показали [5], что такое поведение интенсивностей линий  $I_1, I_2$  соответствует редиффузии кадмия из образца в процессе отжига и образованию новых вакансий  $V_{\text{Cd}}$ , которые заполняются атомами примеси I группы, исходно находившейся в междуузлиях. Этот процесс увеличивает интенсивность линии  $I_1$  и одновременно уменьшает интенсивность линии  $I_2$ .

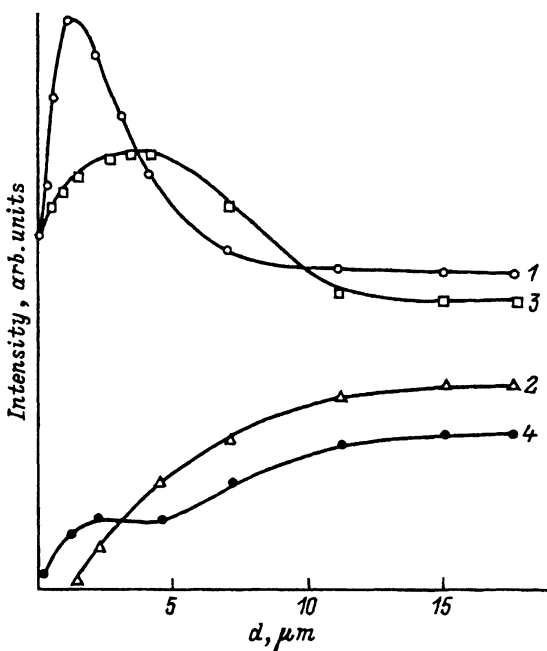


Рис. 2. Распределение интенсивности линий излучения экситонов  $I_1$  (кривые 1, 3) и  $I_2$  (кривые 2, 4) по толщине  $d$  в образце  $n$ -CdTe сразу после отжига в течение 0.5 ч в вакууме при  $400^\circ\text{C}$  (1, 2) и в результате хранения в течение 6 месяцев (3, 4).

Через 6 месяцев хранения образцов при комнатной температуре произошли следующие изменения на профилях интенсивности линий  $I_1$  и  $I_2$  (рис. 2, кривые 3, 4). Интенсивность свечения упала по всему клину. Максимум на профиле  $I_1$  расплылся (кривая 3), а на профиле  $I_2$  появился новый максимум, на 2.3 мкм отстоящий от поверхности образца (кривая 4).

### Обсуждение результатов

Результаты, представленные на рис. 1, свидетельствуют о том, что процессы старения примесно-дефектной системы в  $n$ - и  $p$ -областях образца CdTe при его хранении при комнатной температуре носят различный характер. После отжига образца  $p$ -CdTe в парах Cd в областях  $n$ -типа, образующихся у краев образца, остаточные примеси Li, Cu находятся преимущественно в донорном состоянии, обусловливая высокую интенсивность линии излучения экситонов, связанных на донорах,  $I_2$ . В этой области у краев образца интенсивность линии  $I_1$  понижена в 10–20 раз в сравнении с интенсивностью в средней части  $p$ -области образца, и со временем дальнейшее уменьшение интенсивности  $I_1$  вблизи краев не происходит. По-видимому, это связано с полным переходом атомов I группы Li, Cu в межузельное положение уже в процессе отжига. В то же время, очевидно, что в этой области отсутствуют дефекты типа  $V_{\text{Cd}}$ , которые могли бы заполняться атомами I группы, образуя в процессе старения мелкие акцепторы и приводя к росту интенсивности линии  $I_1$ .

Основной чертой, проявляющейся с возрастанием времени хранения является десятикратное уменьшение интенсивности линии  $I_2$ . Этот факт нельзя объяснить ни переходом примеси из донорного в акцепторное состояние, что привело бы к росту  $I_1$ , ни образованием центров безызлучательной рекомбинации из атомов избыточного кадмия, что привело бы к уменьшению в 10 раз наряду с  $I_2$  и интенсивности линии  $I_1$ . Поскольку в этой области отсутствуют пустые дефекты  $V_{Cd}$ , исключается и образование со временем сложных дефектов ( $V_{Cd} + D$ ) с глубокими уровнями, что привело бы к росту интенсивности полосы 1.42 эВ [10]. Естественным объяснением падения со временем интенсивности линии  $I_2$  остается геттерирование доноров внутренними микропакротефектами (малоугловыми границами, отдельными дислокациями, включениями), в результате чего они находятся в электрически неактивном состоянии.

В средней части образца в области  $p$ -типа наблюдается общее уменьшение со временем интенсивности как линии  $I_1$ , так и линии  $I_2$ , а также присутствующих в спектре полос донорно-акцепторной люминесценции на длинах волн 804, 810 нм. Таким образом очевидно, что в середине образца в процессе старения преобладает образование мицронаоднородностей, на которых геттерируются примеси, находящиеся как в донорном, так и в акцепторном состояниях. Предложенный в работе [4] механизм самокомпенсации низкоомной области  $p$ -CdTe за счет перехода примеси из узла в междоузлие наряду с падением интенсивности  $I_1$  должен бы приводить к росту интенсивности линии  $I_2$ , и, очевидно, он является доминирующим при концентрации легирующей примеси более  $5 \cdot 10^{16} \text{ см}^{-3}$  и концентрации дислокаций менее  $10^5 \text{ см}^{-2}$ .

Обращает на себя внимание тот факт, что через полгода после отжига профиль  $I_1$  стал подобен профилю  $I_2$  по всей толщине образца при общем падении квантового выхода фотolumинесценции (рис. 1, d). Этот результат свидетельствует о том, что в  $p$ -области образца (центральной части) процессы геттерирования примеси, приводящие к гашению люминесценции, идут быстрее, чем в прикраевых  $n$ -областях. По-видимому, это обусловлено образованием различных микротефектов в  $n$ - и  $p$ -областях. В то же время процесс ухода примесей на стоки более энергетически выгоден, чем процесс преобразования дефектов.

Однако, как видно из рис. 2, в процессе старения образца  $n$ -типа, подвергнутого краткому отжигу в вакууме, проявляется расплывание профиля интенсивности  $I_1$  за счет диффузии акцепторов не только на внутренние стоки, но и в объеме образца по образованным в процессе отжига вакансиям  $V_{Cd}$ . Вместе с тем образование со временем нового максимума на профиле  $I_2$ , имеющее место в области падения интенсивности  $I_1$  (рис. 2), может быть следствием перехода части атомов примеси из узлов кадмия в междоузлия, т.е. результатом действия механизма самокомпенсации, предложенного в [4].

## Выводы

Процессы изменения при комнатной температуре системы дефектов в  $n$ - и  $p$ -областях образца теллурида кадмия после кратковременного отжига в парах кадмия и вакууме существенно влияют на рекомбинационные характеристики материала.

В области *n*-типа на отожженной в парах Cd пластине со временем преобладает падение интенсивности линии экситонов, связанных на мелких нейтральных донорах, обусловленное преимущественным уходом межузельной остаточной примеси I группы (Li<sub>i</sub>, Cu<sub>i</sub>) на внутренние стоки.

В области *p*-типа (центральной части) наблюдается падение интенсивности всех линий и полос фотолюминесценции, что связано с наличием более мощного стока для примеси, чем в *n*-областях. Кроме того, в *p*-CdTe можно наблюдать диффузию акцепторов и переход части атомов I группы из акцепторного (узельного) в донорное (межузельное) состояние после отжига пластины в вакууме.

Характер доминирующего механизма преобразования системы дефектов в процессе хранения образцов при комнатной температуре определяется ее исходным состоянием, полученным в результате термической обработки и последующего режима охлаждения.

### Список литературы

- [1] M.R. Squillante, G. Entine, E. Frederick, L. Cirignano, T. Hazlett. Nucl. Instrum. Methods. A, **283**, 323 (1989).
- [2] H. Tsutsui, T. Ohtuchi, R. Ohmori, S. Baba. Japan. J. Appl. Phys., **32**, 228 (1993).
- [3] Y. Marfaing. Rev. de Phys. Appl., **12**, 211 (1977).
- [4] N.V. Agrinskaya, O.A. Matveev. Nucl. Instrum. Methods. A, **283**, 263 (1989).
- [5] В.Н. Бабенцов, Л.В. Рацковецкий, Е.А. Сальков, Н.И. Тарбаев. ФТП, **26**, 1088 (1992).
- [6] S. Seto, A. Tanaka, Y. Masa, S. Dairaku, M. Kamwashima. Appl. Phys. Lett., **53**, 1524 (1988).
- [7] Н.В. Агринская, В.В. Шашкова, ФТТ, **22**, 1248 (1988).
- [8] E. Molva, J.P. Chamonal, J.L. Pautrat. Phys. St. Sol. (b), **109**, 635 (1988).
- [9] E. Molva, K. Saminadayar, J.L. Pautrat, E. Ligeon. Sol. St. Commun., **48**, 955 (1983).
- [10] D.M. Hofmann, P. Omling, H.G. Grimmeiss, B.K. Meyer, K.W. Benz, D. Sinerius. Phys. Rev. B, **45**, 6247 (1992).

Редактор Т.А. Полянская

**Evolution of impurity-defect system of an undoped CdTe of *n*- and *p*-types at room temperature**

*V.N. Babentsov, A.I. Vlasenko, N.I. Tarbaev*

Semiconductor Institute, Ukrainian Academy of Sciences, 252650 Kiev, The Ukraine